

Recombinaciones radiativas y no radiativas

- Tasa de recombinación radiativa: $R_{rr} = \frac{n}{\tau_r}$ ← densidad de e^- hasta recombinación radiativa
- Tasa de recombinación no radiativa: $R_{nr} = \frac{n}{\tau_{nr}}$

$$\eta_i = \frac{R_{rr}}{R_{rr} + R_{nr}} = \frac{1}{1 + \frac{\tau_r}{\tau_{nr}}}$$

Eficiencia cuántica interna

$$R_{rr} = R_{stim} + R_{spont}$$

$$R_{spont} + R_{nr} = \frac{n}{\tau_c}$$

τ_c: tiempo de vida de los portadores (en ausencia de emisión estimulada)

semiconductor banda indirecta
 η_i ≈ 10⁻⁵ ej: Si, Ge
 unidos en electrónica

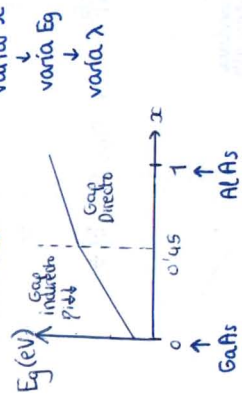
semiconductor banda directa
 η_i ≈ 0.5 ej: AsGa, AlGaAs
 InP, InGaAsP
 unidos en huecos ópticos

En realidad, de forma más exacta
 $R_{spont} + R_{nr} = A_{nr} \cdot n + Bn^2 + Cn^3$

$$\lambda(\mu m) = \frac{1.24}{E_g(eV)}$$

3. Tecnología y materiales

Primera ventana: Al_xGa_{1-x}As



segunda y Tercera ventanas

In_{1-x}Ga_xAs y In_{1-y}As

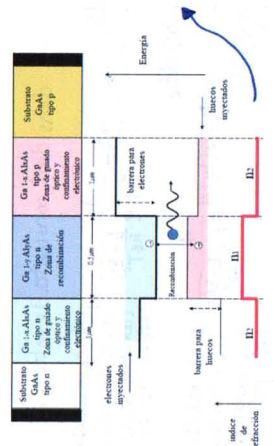
- x: fracción molar de galio
- y: fracción molar de arsénico

Para que se mantenga de la constante de red a_0 (long. de la periodicidad de la estructura del semiconductor) lo cual es necesario en heteroestructuras, se debe cumplir $\gamma = 2.2x$

Heteroestructuras

- todas las capas deben tener misma cte de red

- logra confinamiento de la zona activa (acumula electrones y huecos)
- los índices de refracción hacen que se comporte como guía de onda óptica para la luz generada en la zona activa



4. Diodo electroluminescente (LED)

- Emisión superficial (ef. burros)
- Emisión lateral
- Eficiencia cuántica externa:



η_e: fracción de potencia generada que logra abandonar el LED y ser emitida superiormente

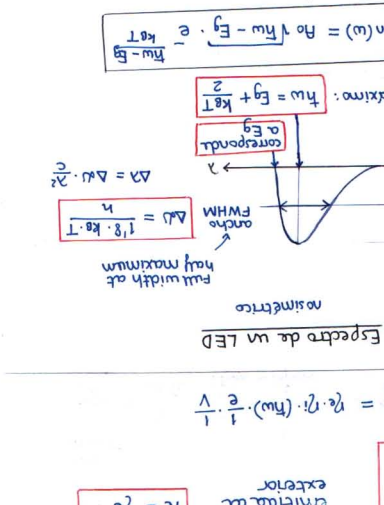
$$\eta_e = \frac{\int_{\text{superior}} P_r(\lambda) d\lambda}{\int_{\text{total}} P_r(\lambda) d\lambda} = \frac{\int_{\text{superior}} P_r(\lambda) d\lambda}{4\pi I_{TT}}$$

η_e ≈ $\frac{n}{n + n_e}$

η_e ≈ $\frac{n}{n + n_e} \cdot \left(\frac{e}{h}\right) \cdot \left(\frac{h\nu}{eV}\right)$

η_{opt} = η_e · η_{int} · η_{ext} · η_{exterior}

η_{opt} = η_e · η_{int} · η_{ext} · η_{exterior} · η_{exterior}



Curva P-I de un LED

$$R = \frac{I}{e}$$

$$R = \eta_e \cdot \eta_i \cdot (h\nu)^{-1}$$

$$= \eta_{ext} \cdot V$$

Modulación de un LED

Ecua. de transmisión del LED:

$$\frac{dn(t)}{dt} = \frac{I(t)}{e \cdot V_{act}} - \frac{n(t)}{\tau_c}$$

Resolviendo:

$$n(t) = n_0 + n_m \sin(\omega_m t) \cdot e^{-t/\tau_c}$$

Por tanto, función de transferencia H(ω_m) = R_e(ω_m) = $\frac{R_e(\omega_m)}{1 + j\omega_m \tau_c}$

Δf_{3dB} = $\frac{1}{2\pi \tau_c}$

Δf_{optica} = $\frac{1}{2\pi \tau_c}$

Δf_{elec} = $\frac{1}{2\pi \tau_c}$

Eficiencia cuántica total

η_{opt} = η_e · η_{int} · η_{ext} · η_{exterior}

η_{opt} = η_e · η_{int} · η_{ext} · η_{exterior} · η_{exterior}

η_{opt} = η_e · η_{int} · η_{ext} · η_{exterior} · η_{exterior}

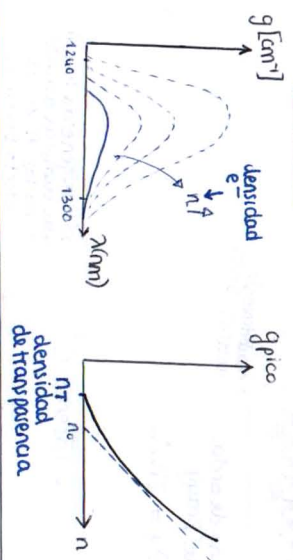
η_{opt} = η_e · η_{int} · η_{ext} · η_{exterior} · η_{exterior}

ganancia óptica

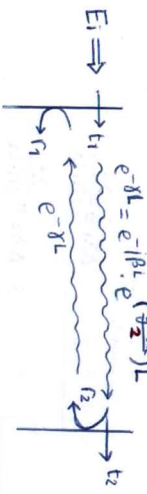
$P_{in} \rightarrow \frac{dP}{dz} = g \cdot P \rightarrow P_{out} = P_{in} \cdot e^{g_{opt} \cdot z}$

$g(\omega) = \frac{A_{stim}(\omega) - A_{abs}(\omega)}{V_g} \quad [cm^{-1}]$

sección cruzada de ganancia
 $g_{opt} \approx \sigma_g (n - n_0) \quad [cm^{-1}]$
 $\sigma_g [cm^{-1}] \quad [e^-/cm^3]$



Fabry - Perot



condición de ganancia:

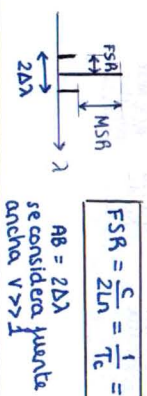
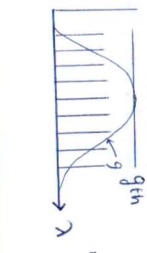
$g_{th} = \alpha_c + \frac{1}{2L} \ln\left(\frac{1}{R_1 R_2}\right)$
 ganancia óptica en un camino $\alpha \cdot L$
 pérdidas por reflexión espejos

coef. reflexión (campo): r
 reflectividad (potencia): $R = r^2$
 $E_s = E_i \cdot \frac{t_1 t_2 e^{-\gamma L}}{1 - r_1 r_2 e^{-2\gamma L}}$

condición oscilación
 $1 - r_1 r_2 e^{-2\gamma L}$ igualar módulo

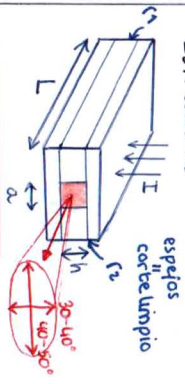
condición de fase

$\nu = g \cdot \frac{c}{2L\bar{n}} = g \cdot \frac{1}{\tau_L}$
 n° entero
 τ_L tiempo ida y vuelta



$FSR = \frac{c}{2L\bar{n}} = \frac{1}{\tau_L} = \Delta\nu$
 $AB = 2\Delta\nu$
 se considera fuente ancha $\nu \gg \Delta\nu$

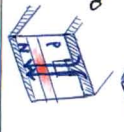
Estructura



$r_1 = r_2 = \frac{\bar{n} - \bar{n}_{ext}}{\bar{n} + \bar{n}_{ext}}$
 $R_1 = R_2 = r^2$
 típicamente $\bar{n}_{ext} = 1$ (aire)
 $R_1 = R_2 = \left(\frac{\bar{n}-1}{\bar{n}+1}\right)^2$

Factor de confinamiento Γ : fracción de potencia de las modas de la cavidad que viajan por la zona activa y por tanto tienen ganancia.
 Para tener en cuenta cambios g por Γg
 $q \cdot g_{th} = \frac{1}{\tau_L} (\alpha_c + \alpha_{exp})$

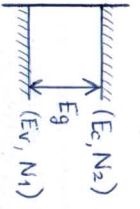
- guiado por ganancia: mayor o menor densidad de e^-
- guiado por índice de refracción: como la F.O.
- guiado por confinamiento de corriente



Tema 5. Fuentes ópticas

1. Interacción radiación materia

Niveles Energéticos:



Estadística de Boltzmann en equilibrio termodinámico:
 $N(E) = e^{-\frac{E}{k_B T}}$

Tasa emisión espontánea: $R_{spont} = \frac{dN_2}{dt} = A \cdot N_2$

Tasa absorción: $R_{abs} = \frac{dN_1}{dt} = B_{12} \cdot N_1 \cdot \rho(\omega)$
 densidad espectral de radiación

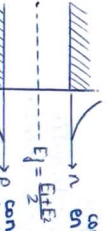
Tasa emisión estimulada: $A_{stim} = \frac{dN_2}{dt} = B_{21} N_2 \rho(\omega)$

se obtiene:

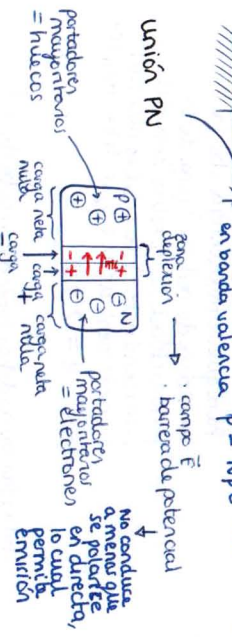
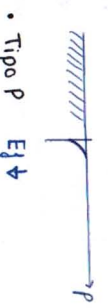
$\rho(\omega) = \frac{A/B_{21}}{\frac{B_{12}}{B_{21}} \frac{h\nu}{k_B T} - 1} \Rightarrow \left[A = \frac{B_{12}}{B_{21}} \frac{h\nu}{k_B T} - 1 \right]$
 aplicando campo negro $\rho(\omega) = \frac{8\pi h\nu^3/c^3}{e^{\frac{h\nu}{k_B T}} - 1}$

2. Semiconductores

Intrínsecos (sin dopantes)



concentración de e^- en banda conducción $n = N_c e^{-\frac{E_c - E_f}{k_B T}}$
 concentración h^+ en banda valencia $p = N_v e^{-\frac{E_f - E_v}{k_B T}}$



Tasa de emisión

$R_{spont}(\omega) = \int_{E_c}^{\infty} A(E) f_c(E) [1 - f_v(E)] \cdot \rho_{cv} dE$
 $R_{abs}(\omega) = \int_{E_c}^{\infty} B_{12}(E) f_v(E) [1 - f_c(E)] \cdot \rho_{cv} \cdot \rho(\omega) dE$
 $A_{stim}(\omega) = \int_{E_c}^{\infty} B_{21}(E) f_c(E) [1 - f_v(E)] \cdot \rho_{cv} \cdot \rho(\omega) dE$

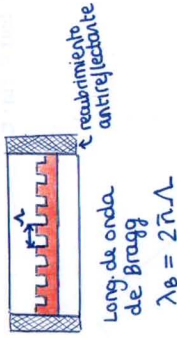
densidad conjunta de bandas:
 $f_c(E) = \frac{1}{1 + e^{\frac{E - E_f}{k_B T}}}$
 $f_v(E) = \frac{1}{1 + e^{\frac{E_f - E}{k_B T}}}$

prob. existencia de e^- en nivel E_c (conducción) en el tipo N (f_c)
 prob. existencia de e^- en nivel E_v (valencia) en tipo P (f_v)
 prob. existencia de h^+ en el nivel E (valencia)

Densidad espectral de radiación electromagnética $(1 - f_v(E))$: prob. existencia de h^+ en el nivel E (valencia)

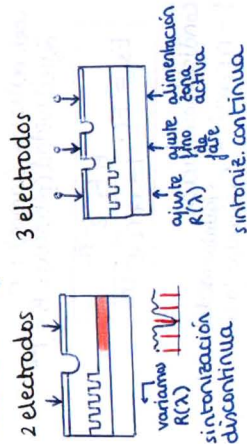
Láseres monomodo (fuente estrecha $V \ll 1$)

- Láseres DBR (Distributed Bragg Reflector)
- Láseres DFB (Distributed Feedback)

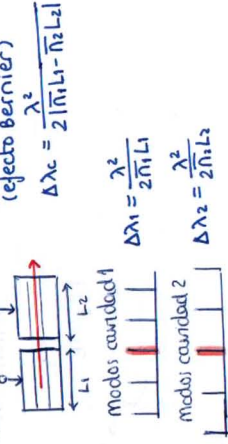


Sintonizables

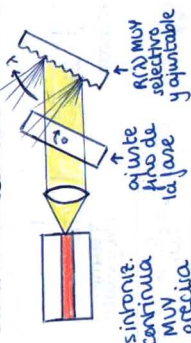
- Láseres multielectrodo usar intensidad para variar el índice de refracción



- Láseres C³ sólo regeneran los λ que cumplen ambos modos A LA VEZ (efecto Bernier)



Láseres de cavidad externa

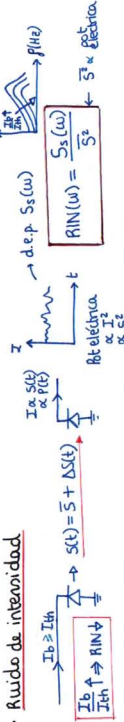


- Láseres de potos cuánticos Técnica aplicable a los casos anteriores
- Zona activa por debajo de los 10nm (en lugar de 100-300nm que usábamos)
- Efectos cuánticos de discretización de niveles de energía

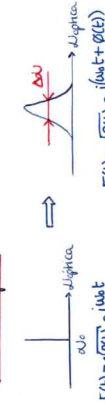


Auido en láseres de semiconductor

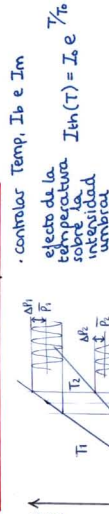
- Ruido de intensidad
- Ruido de fase



Auido de fase



Circuitos 'driver' de control para láseres



$$\frac{\sigma}{\sigma_0} = \sqrt{\left(1 - \frac{C\beta z}{2\sigma_0^2}\right)^2 + (1+V)^2 \left(\frac{\beta z z}{2\sigma_0^2}\right)^2} + (1+C^2 + V^2)^{1/2} \cdot \frac{1}{2} \cdot \left(\frac{\beta z z}{4\sigma_0^2}\right)^2$$

per tanto $V^2 \left(\frac{\beta z z}{2\sigma_0^2}\right)^2 = (\beta z z \frac{d\omega}{\sigma_0})^2$

z : [km]
 σ : ancho temporal rms del pulso a distancia z [ps]
 σ_0 : ancho temporal rms del pulso inicial [ps]
 C : chirp
 $d\omega$: ancho espectral rms de la fuente óptica [rad/ps]
 $d\lambda$: ancho espectral rms de la fuente óptica [nm]

Criterio $T_0 \geq 4\sigma$
 $B \leq \frac{1}{4\sigma}$

Fuente óptica ancha $V \gg 1 \rightarrow$ despreciamos chirp $C=0$

$\beta z \gg \beta_3$ $\beta z = 0 \rightarrow \beta_3$

$\frac{\sigma}{\sigma_0} = \sqrt{1 + \left(\frac{L\beta z d\omega}{\sigma_0}\right)^2} = \sqrt{1 + \left(\frac{L D \sigma_0}{\sigma_0}\right)^2}$

$\sigma = \sqrt{\sigma_0^2 + d\sigma^2} \approx \sigma_0$

con $d\sigma = |D| \cdot L \cdot d\lambda$

Criterio $B \leq \frac{1}{4\sigma} \Rightarrow B \cdot L \leq \frac{1}{4|D|\sigma_0}$

NOTA: $\sigma = \sqrt{\sigma_0^2 + d\sigma^2}$
 ancho original por dispersión por dispersión ancho final

Fuente óptica estrecha $V \ll 1 \rightarrow$ el ensanchamiento $d\sigma$ depende de σ_0 , por lo que hay un σ_0 óptimo

$\beta z >> \beta_3$ $\beta z = 0 \rightarrow \beta_3$

$\frac{\sigma}{\sigma_0} = \sqrt{\left(1 - \frac{C\beta z}{2\sigma_0^2}\right)^2 + \left(\frac{\beta z L}{2\sigma_0}\right)^2}$

$\frac{d\sigma}{d\sigma_0} = 0 \rightarrow \sigma_0 \text{ óptimo} = \frac{1}{2} \sqrt{1+C^2} \cdot \sqrt{\frac{\beta z L}{2}}$

$\sigma = \sqrt{|\beta z L| \sqrt{1+C^2}} - C\beta z L$

Si $C=0$ $\sigma_{\text{óptimo}} = \sqrt{\frac{\beta z L}{2}}$

Criterio $B \leq \frac{1}{4\sigma} \Rightarrow B \cdot L \leq \frac{1}{4\sqrt{\beta z L}}$

Criterio $B \leq \frac{1}{4\sigma} \Rightarrow B \cdot (L)^{1/3} \leq \frac{0.324}{(\beta z)^{1/3}}$

típico despear $\beta_3, \beta_2, \beta_1, L$ para caracterizar, dividir caso desconocido por el conocido y queda sólo en función de los anchuras de pulsos

Efecto de la dispersión en señales analógicas

$G(t, \omega) = [1 + m \cos \Omega t] \text{ sen } \omega t$

$\hat{G}(t, \omega) = \hat{G}(0, \omega) \cdot e^{-j\beta z \omega^2 t}$

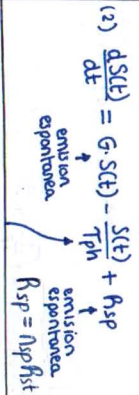
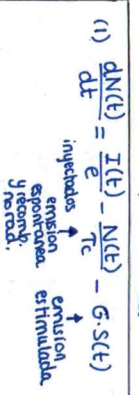
$G(z, t) = [1 + m \cos(\beta z \omega^2 t)] \cos(\omega_0(t - \beta z \omega^2)) \text{ sen}(\omega t + \psi(z, t))$

La portadora se anula para $\Omega = \sqrt{\frac{(2k+1)\pi}{\beta z z}}$

portadora de RF modulando sobre frecuencia óptica

cada versión de la portadora de RF sufre distinto retardo de grupo y pueden estar en contra-fase (por encima de 50GHz) i.e. sólo para modular RF de alta frecuencia solución: usar BLU

$N(t)$: nº electrones | $n(t) = \frac{N(t)}{V_{act}}$: densidad e⁻ | $S(t)$: nº fotones | $I(t)$: corriente inyectada



τ_{ph} : tiempo medio de vida del fotón en cavidad

$$\frac{1}{\tau_{ph}} = \frac{1}{g} \left(\alpha_c + \frac{1}{2L} \ln \left(\frac{1}{R_1 R_2} \right) \right)$$

g [cm⁻¹]: ganancia por longitud de onda

(3) $\frac{dI(t)}{dt} = \frac{\alpha}{2} \cdot G \cdot N(t) - N(t)h$

τ_c : vida media de portadores en ausencia de emisión estimulada. $R_{sp} + R_{nr} = \frac{1}{\tau_c}$ (unido en LEDs)

G : coeficiente de emisión estimulada
 $G \cong R_{stim} - R_{abs} \cong R_{stim}$

$G = G_N \cdot (N - N_0)$
 $G \cong R_{stim} - R_{abs} \cong R_{stim}$

G_N : coef. de ganancia del modo
 $G_N = \frac{q \cdot V_g \cdot T}{V_{act}}$
 V_g : vol. grupo [cm³]
 V_{act} : volumen zona activa [cm³]
 T : factor confinamiento
 $V_{act} = \frac{c}{\nu} \cdot V_g$

N_h : cantidad de e⁻ umbral a partir del cual $N(t)$ cambia el índice de refracción
 $E(t) = (A \cdot S(t)) \cdot e^{i(\omega t)}$: e⁻ justo
 $P(t) = A \cdot S(t)$
 K : factor de ensanchamiento de línea

(2) $\frac{dS(t)}{dt} = S(t) \left[G - \frac{1}{\tau_{ph}} \right] + R_{sp} = 0 \Rightarrow S(t) = \frac{R_{sp}}{G - \frac{1}{\tau_{ph}} - 1}$

Umbral:
 $G = \frac{1}{\tau_{ph}}$
 $G_N(N - N_0) = \frac{1}{\tau_{ph}}$

corriente umbral
 $I_{th} = \frac{e}{\tau_c} \left(N_0 + \frac{1}{G_N \cdot \tau_{ph}} \right)$

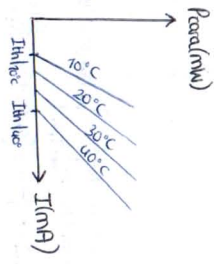
potencia
 $P = S \cdot h \cdot \nu \cdot V_g \cdot \alpha_{ex} = \frac{V_g \alpha_{ex} h \nu \tau_{ph}^2}{e (\alpha_c + \alpha_{ex})} (I - I_{th})$

Potencia que sale por los dos caras
 $P = \frac{V_{ex} \cdot h \nu \cdot \eta_i}{e (\alpha_c + \alpha_{ex})} (I - I_{th})$

Eficiencia cuántica externa
 $\eta_{ext} = \frac{P_{out}}{P_{in}} = \frac{V_{ex} \eta_i}{\alpha_c + \alpha_{ex}} \left(1 - \frac{I_{th}}{I} \right) = \eta_{ext} \left(1 - \frac{I_{th}}{I} \right)$

Eficiencia cuántica total
 $\eta_{tot} = \frac{P_{out}}{P_{in}} = \frac{V_{ex} \eta_i}{\alpha_c + \alpha_{ex}} \cdot \eta_{ext}$

$\frac{dP_{sate}}{dI} = \frac{h \nu \cdot \eta_i \cdot \alpha_{ex}}{2e (\alpha_c + \alpha_{ex})} = \frac{h \nu \cdot \eta_d}{2e}$



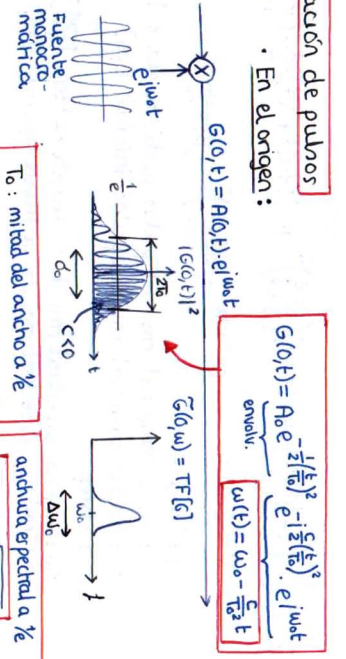
Umbral para junctions láser
 $G \cong \frac{1}{\tau_{ph}}$
 En realidad en la condición de ganancia ya vista
 $X_g \tau_{ph} g = \frac{1}{\tau_{ph}} (\alpha_c + \alpha_{exp})$

$S = \frac{\tau_{ph} \cdot P_i}{e} (I - I_{th})$

Modelo de propagación de pulsos

Pulso gaussiano
 $A(t) = A_0 e^{-\frac{1}{2} \left(\frac{t}{T_0} \right)^2}$

parte real
 parte imag
 modelo de chirp que en realidad tiene la fuente



En el origen:
 $G(t) = A_0 e^{-\frac{1}{2} \left(\frac{t}{T_0} \right)^2} e^{i \omega_0 t}$
 $\omega(t) = \omega_0 - \frac{t}{T_0^2}$

T_0 : medida del ancho a 1/e
 $T_{FWHM} = 2 \sqrt{\ln 2} \cdot T_0$
 d_0 : ancho rms $d_0 = \frac{T_0}{\sqrt{2}}$

ancho espectral a 1/e
 $\Delta \omega_c = \frac{\sqrt{1+C^2}}{T_0}$
 mayor chirp } mayor anchura espectral

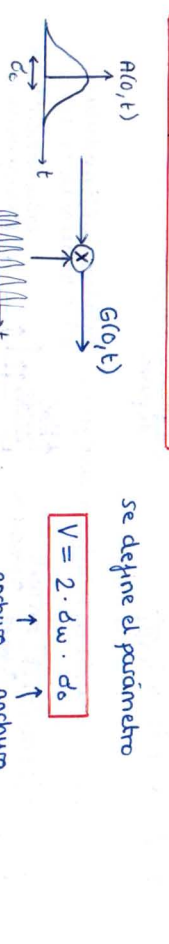
$G(t) = A_0 e^{-\frac{1}{2} \left(\frac{t}{T_0} \right)^2} e^{i \omega_0 t}$
 $\tilde{G}(w) = e^{-i \beta z} H(w) = e^{-i \left[(\beta_0 + \beta_1(w-\omega_0) + \frac{1}{2} \beta_2(w-\omega_0)^2 + \frac{1}{6} \beta_3(w-\omega_0)^3) z \right]}$
 $\tilde{G}(z, t) = \tilde{G}(t) e^{-i \beta z}$

considerando solo β_2
 A la salida tenemos pulso gaussiano mas ancho (T)
 $T_0 = \left[\left(1 - \frac{\beta_2 z}{T_0^2} \right)^2 + \left(\frac{\beta_2 z}{T_0^2} \right)^2 \right]^{1/2}$

considerando tambien β_3
 Los pulsos a la salida ya no son gaussianos.
 Ya no sirve usar T_0 , hay que usar el ancho rms
 $d_0 = \left[\left(1 - \frac{\beta_2 z}{2d_0^2} \right)^2 + \left(\frac{\beta_2 z}{2d_0^2} \right)^2 + (1+C^2) \cdot \frac{1}{2} \left(\frac{\beta_3 z}{4d_0^3} \right)^2 \right]^{1/2}$

Fibras de compresión de la dispersión
 Empalmado de fibras, se tiene como función de transferencia la función $H(w) = e^{-i \beta_1 w L_1} e^{-i \beta_2 w^2 L_2}$
 Se puede jugar para anular la dispersión de 1º orden β_1 igual $L_1 = -\beta_2 \beta_1 \omega z L_2$

Fuentes ópticas no monocromáticas



se define el parámetro
 $V = 2 \cdot d \omega \cdot d_0$

anchura espectral del pulso gaussiano
 $d \omega = \frac{2\pi C}{\lambda^2} d \lambda$
 $\beta_2 d \omega = D d \lambda$

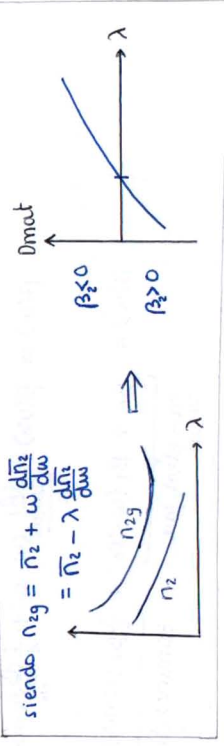
$V \ll 1$: fuente monocromática
 $V \gg 1$: fuente ancha

Términos de la dispersión

• Dispersión material

n_1 y n_2 dependen de λ
 • si suponemos Δc de (gran simplificación) basta considerar la variación de $n_2 \rightarrow$ variación de n_2
 $\beta_1 = \frac{d\beta}{d\omega} \Big|_{\omega_0} = \frac{dn_2(\omega)}{c} \cdot \omega$ No puede ser, β_1 debe ser constante; la variación de $n_2(\omega)$ se verá reflejada en β_2
 $\beta_2 = \frac{d^2\beta}{d\omega^2} \Big|_{\omega_0} = \frac{d}{d\omega} \left(\frac{dn_2(\omega)}{c} \cdot \omega \right)$ pasando a λ

$D_{mat} = \frac{1}{c} \frac{dn_2}{d\lambda} \approx \frac{1}{c} \frac{dn_1}{d\lambda}$

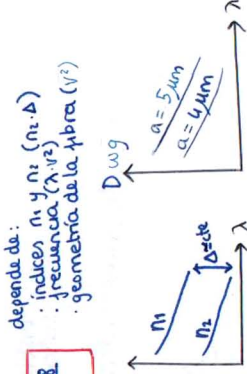


• Dispersión guiada

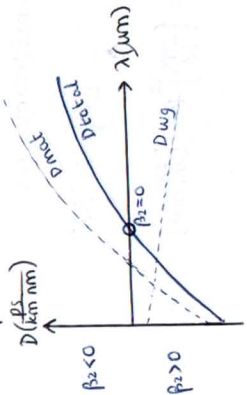
• aunque n_1 y n_2 fueran constantes con λ seguiría existiendo una variación de $\beta(\omega)$ por el simple hecho de ser una guíaonda (gráficas $\beta \leftrightarrow \omega$ del tema anterior)
 sabiendo $\beta = \beta(\omega) \Leftrightarrow b = b(V)$ se puede obtener

$D_{wug} = -\frac{n_2 \Delta}{c \lambda} \cdot V \frac{d^2(Vb)}{dV^2} = \frac{n_2 \Delta}{c \lambda} \cdot \frac{1.9448}{V^2}$

$c = 3 \cdot 10^8 \text{ km/ps}$
 $\lambda \text{ [nm]}$
 modo fundamental
 $1.5 < V < 2.4$
 $b = [1.1128 - \frac{0.996}{V}]^2$

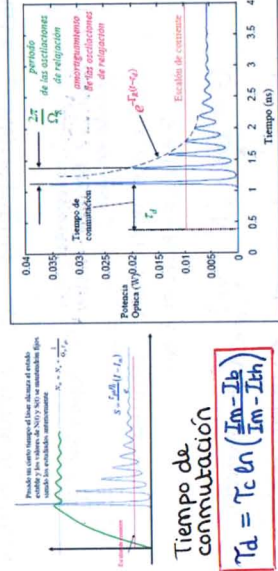


• Dispersión total



$D_{tot} = D_{mat} + D_{wug}$
 segunda ventana: $\beta_2 = 0$
 tercera ventana: mínima atenuación
 Fibras de dispersión desplazada: se juega con D_{wug} para que D_{tot} se anule en tercera ventana

Análisis del láser en régimen transitorio



Tempo de conmutación
 $\tau_d = \tau_c \ln \left(\frac{I_m - I_b}{I_m - I_0} \right)$
 I_m : corriente de modulación

Publicación de las oscilaciones de relajación

$\Delta \omega_R \approx \sqrt{\frac{1}{T_p} \frac{G \cdot S}{e \cdot V_{act}}} \cdot \sqrt{\frac{1}{T_p} \frac{G \cdot S}{e \cdot V_{act}}}$
 $\Delta \omega_R = \sqrt{\frac{1}{T_p} \frac{G \cdot S}{e \cdot V_{act}}}$
 $= \sqrt{\frac{1}{T_p} \frac{G \cdot S}{e \cdot V_{act}}}$

Exponente del decaimiento de las oscilaciones
 $e^{-\Gamma_R(t - \tau_d)}$
 $\Gamma_R = \frac{\Gamma_S + \Gamma_N}{2}$
 $\Gamma_S = \frac{\beta \Phi - G_S}{\tau_c}$
 $\Gamma_N = \frac{1}{\tau_c} + G_N S$
 $G_S = -E_{NL} G_L$
 $S_b = \frac{S(t)}{I(t)} = I_b$
 (nº filones de bias)
 frecuencia de las oscilaciones
 $f_R = \frac{\Delta \omega_R}{2\pi}$

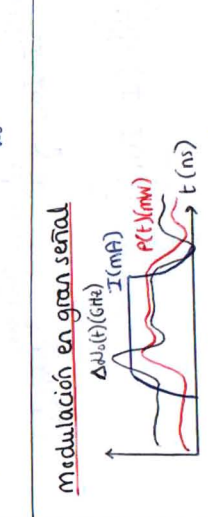
Modulación en pequeña señal

$I(t) = I_b + I_m \sin(\omega_m t)$
 $s(t) = S_b + |S_m(\omega_m)| \cdot \sin(\omega_m t + \phi_m(\omega_m))$
 resolviendo esc. del láser
 $|S_m| e^{j\phi_m} = \frac{G_N \cdot S \cdot I_m / e}{(\Delta \omega_R + \omega_m - j\Gamma_R)(\Delta \omega_R - \omega_m + j\Gamma_R)}$

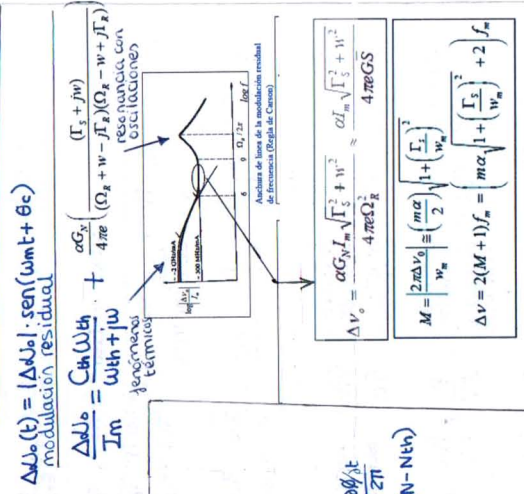
Función de transferencia
 $H(\omega) = \frac{\Delta S_m(\omega)}{\Delta S_m(0)} = \frac{\Delta \omega_R^2 + \Gamma_R^2}{(\Delta \omega_R + \omega_m - j\Gamma_R)(\Delta \omega_R - \omega_m + j\Gamma_R)}$
 F.P. 84qo
 $I_b^{1/2} / I_m^{1/2} = 1.5$ pico en f_R
 $I_b^{1/2} / I_m^{1/2} = 5$
 $f_{3dB} = \frac{1}{2\pi} [(\Delta \omega_R - \Gamma_R)^2 + 2(\Delta \omega_R + \Delta \omega_R^2 + \Gamma_R^2)^{1/2}]^{1/2}$
 calcular $\Delta \omega_R$ usando $I = I_b$
 $f_{3dB} \approx \sqrt{3} \cdot \frac{\Delta \omega_R}{2\pi}$

Modulación en frecuencia en pequeña señal

$2\pi \Delta \omega(t) = \frac{d\phi(t)}{dt} = \frac{\alpha}{2} G_N(N(t) - N_{th})$
 $\Delta \omega(t) = \frac{\alpha}{4\pi} G_N(N(t) - N_{th})$
 $I(t) = I_m \cos(\omega t) \Rightarrow \Delta \omega(t) = \Delta \omega_m \cos(\omega t)$



Modulación en gran señal
 $G = G_N(N - N_0)$
 $N_{th} = N_0 + \frac{1}{G_N T_{ph}}$
 $(2) \rightarrow \frac{dS}{dt} = S \left[G_N(N - N_{th}) - \frac{E_{NL} S}{T_{ph}} \right] + \beta \Phi$
 $\Delta \omega(t) = \frac{\alpha}{4\pi} \left[\frac{d(\ln S(t))}{dt} + \frac{1}{T_{ph}} [E_{NL} S(t) - S(t)] \right]$
 chirp p. adiabático (diferencia entre estados 0 y 1)
 transitorio



$\Delta V_0 = \frac{\alpha G_N \sqrt{I_m} \sqrt{I_s^2 + I_n^2}}{4\pi E_{NL} G_R} \approx \frac{\alpha I_m \sqrt{I_s^2 + I_n^2}}{4\pi E_{NL} G_S}$
 $M = \left| \frac{2\pi \Delta V_0}{\omega_m} \right| = \left(\frac{\alpha I_m}{2} \right) \left(1 + \frac{I_n^2}{I_s^2} \right)^{1/2}$
 $\Delta V = 2(M+1) f_m = \left(m \alpha \left[1 + \frac{I_n^2}{I_s^2} \right] + 2 \right) f_m$

Tema 7. Detectores para comunicaciones ópticas

Ondas y fotones

$W \sim \frac{1}{\lambda}$
 $E(f) = h \cdot f$
 $P(f) = \frac{dE}{dt} = h \cdot \frac{df}{dt}$
 $Q(f) = \frac{P(f)}{h \cdot f}$

Caracterización

$Q(f) = \sum h(f - f_c)$
 $= Q(f) + \Delta Q(f)$
 ruido fotónico

Fuente óptica coherente

Prob uniforme de emitir fotón en intervalo T
 Poisson: n_T : nº fotones emitidos en T
 $P(n_T) = \frac{N^{n_T} e^{-N}}{n_T!}$

Detectores ideales

$P(f) = \frac{P(f) \cdot h \cdot \nu}{h \cdot \nu}$
 $T \uparrow \Rightarrow \Delta f \rightarrow \Delta f$
 $T \downarrow \Rightarrow T < 1/\Delta f$

Eficiencia cuántica ideal $\eta = 1$

n fotones $\rightarrow \eta \cdot n$ electrones
 $\eta = \frac{n \text{ electrones}}{n \text{ fotones}} = \frac{i/e}{P/h\nu}$
 $i(t) = \eta \cdot e \cdot Q(f)$

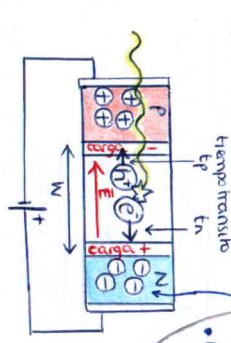
Responsividad

$R(f) = \frac{i}{P(f)}$
 $R = \frac{\eta}{h\nu}$
 $= \frac{\eta \cdot e}{h \cdot c / \lambda}$
 $= 0.82 \lambda \eta$

Fuente de ruido adicional:

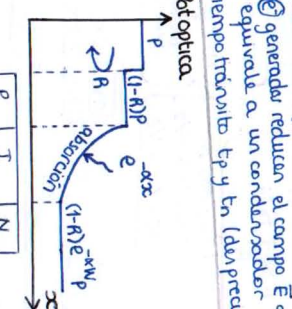
$P_{di} = \alpha_i^2 = 2e^2 \bar{Q} \Delta f \eta$
 $= 2e^2 \bar{I} \Delta f \eta$
 $(\Delta i)^2 = 2e \bar{I} \Delta f$

Fotodiodos PIN



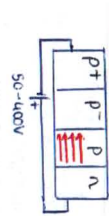
Respuesta en frecuencia

$J_{int}(w) = F(w) \cdot \Phi_0(w)$
 $J_{int}(w) = \frac{1}{1 + jwRC} \cdot F(w) \cdot \Phi_0(w)$
 $R = \frac{1}{A \cdot q \cdot n}$



$R = \frac{e}{h\nu} \cdot \lambda [\mu m] \cdot \eta$
 $\eta = (1-R) \cdot (1 - e^{-\alpha L})$
 $\eta = (1-R) \cdot \frac{1 - e^{-\alpha L}}{1 + \alpha L}$

Diodos APD



Zona de multiplicación por avalancha
 ruido shot: $(\Delta i_s)^2 = M \cdot F(M) \cdot 2eI\Delta f$
 Factor de ruido de APD: $F(M) = M^x$
 $x = 0.3 \rightarrow 0.5$ en Si
 $= 0.1 \rightarrow 1$ en Ge

Detector ideal

$R_{APD} = M \cdot R$
 α partir de un par $e^{-h\nu}$ se generan M pares $e^{-h\nu}$
 $M = 1 + \Delta M$
 ΔM nuevos ruidos

Tema 4. Dispersión en fibras ópticas

velocidad de fase:

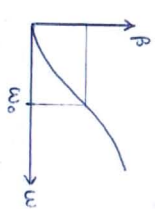
$v_f = \frac{\omega}{\beta} = \frac{c}{n}$
 $n = \frac{c}{v_f}$

velocidad de grupo

$v_g = \frac{1}{d\beta/d\omega} = \frac{c}{N_g}$
 $N_g = c \cdot \frac{d\beta}{d\omega} = c \cdot \frac{d}{d\omega} \left[\frac{\omega n}{c} \right]$
 $N_g = \bar{n} + \omega \cdot \frac{d\bar{n}}{d\omega} = \bar{n} - \lambda \frac{d\bar{n}}{d\lambda}$

$\beta = k_0 \bar{n} = \frac{2\pi}{\lambda} \bar{n} = \frac{2\pi f}{v} \bar{n} = \frac{\omega}{v}$

Análisis de dispersión usando β



Desarrollo de Taylor
 $\beta(\omega) = \beta(\omega_0) + \frac{d\beta}{d\omega}(\omega - \omega_0) + \frac{1}{2} \frac{d^2\beta}{d\omega^2}(\omega - \omega_0)^2 + \frac{1}{6} \frac{d^3\beta}{d\omega^3}(\omega - \omega_0)^3 + \dots$
 $\beta(\omega) = \beta_0 + \beta_1(\omega - \omega_0) + \frac{1}{2} \beta_2(\omega - \omega_0)^2 + \frac{1}{6} \beta_3(\omega - \omega_0)^3 + \dots$

retardo de grupo por unidad de longitud

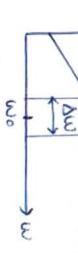
$T_g(\omega) = \frac{d\beta}{d\omega}$

$T_g(\omega) = 0 + \beta_1 + \beta_2(\omega - \omega_0) + \frac{1}{2} \beta_3(\omega - \omega_0)^2$
 $\beta_1 = \frac{d\beta}{d\omega} |_{\omega_0} = \frac{c}{v_g}$

Distintas componentes frecuenciales de nuestra señal sufriran retardos diferentes

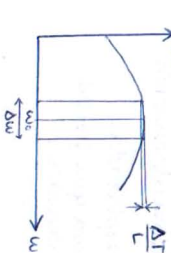
Dispersión de primer orden: $\beta_2 \neq 0$ - despreciamos β_3

$\Delta T = L \cdot |\beta_2| \cdot \Delta \omega = L \cdot |D| \cdot \Delta \lambda$
 $D = -\frac{2\pi c}{\lambda^2} \beta_2$



Dispersión de segundo orden: $\beta_2 = 0$ - consideramos β_3

$\Delta T = L \cdot \frac{1}{6} |\beta_3| \Delta \omega^2 = L \cdot \frac{1}{6} |S| \Delta \lambda^2$
 $S = \left[\frac{2\pi c}{\lambda^2} \right]^2 \beta_3$



Tema 3. Atenuación en fibras ópticas

Concepto de atenuación



Mecanismos

- Intrínsecos: propios de la fibra inevitables
- absorción por resonancia ultravioleta
- scattering: rayleigh
- Extrínsecos: factor externos evitables
 - impurezas: iones OH, metales, hidrógeno
 - curvaturas

atenuación infrarroja

$$\alpha_{ir} \left(\frac{dB}{km} \right) = 7.81 \cdot 10^{-11} \cdot \frac{4\pi \cdot 48}{\lambda(\mu m)}$$



Impurezas metálicas

- Fue el gran quebradero de cabeza inicialmente
- Hoy día se ha eliminado (concentración de impurezas inferiores a una parte por billón (1ppb))

Atenuación por presencia de hidrógeno

- vidrios de sílica son permeables al hidrógeno, que puede entrar y salir libremente en la fibra según el ambiente (reversible).
- durante demasiado tiempo puede reaccionar para formar iones OH

Independiente de la dispersión

$$\frac{dP}{dz} = -\alpha \cdot P$$

$$P_s = P_e e^{-\alpha \cdot L}$$

$$\alpha \left(\frac{dB}{km} \right) = -10 \log \left(\frac{P_s}{P_e} \right) = 4.343 \cdot \alpha \cdot L$$

Intrínsecos

atenuación por ultravioleta

$$\alpha_{uv} \left(\frac{dB}{km} \right) = \frac{1.542 \cdot x(\%)^2}{4416 \cdot x(\%) + 60} \cdot 10^{-2} \cdot e^{\frac{4163}{\lambda(\mu m)}}$$

siendo $x(\%)$: % de GeO_2 en el núcleo

atenuación Rayleigh

$$\alpha_r \left(\frac{dB}{km} \right) = \frac{A}{\lambda(\mu m)^4}$$

$A = 0.17 \sim 1$ monomodo
 $A = 1 \sim 1.6$ multimodo

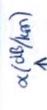
Extrínsecos

iones OH

Gaussianas con pico en 127 y 138 μm

$$\alpha_{OH1} \left(\frac{dB}{km} \right) = 48 \left(\frac{dB}{km \cdot ppm} \right) \cdot \text{Conc}(\text{ppm}) \cdot e^{-\frac{\lambda(\mu m) - 1.38}{\sigma_r^2}}$$

$$\alpha_{OH2} \left(\frac{dB}{km} \right) = 2.5 \left(\frac{dB}{km \cdot ppm} \right) \cdot \text{Conc}(\text{ppm}) \cdot e^{-\frac{\lambda(\mu m) - 1.27}{\sigma_r^2}}$$



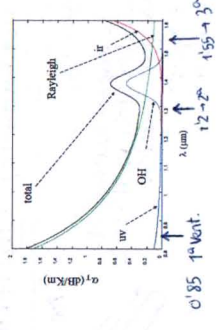
Pérdidas por curvaturas

macrocurvaturas



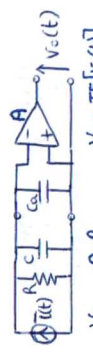
se evitan respetando el mínimo radio de curvatura dado por el fabricante

Espectro de la atenuación total



Tema 8. Receptores para comunicaciones ópticas

Configuración alta impedancia

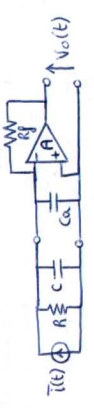


$$\frac{V_o}{I} = \frac{A \cdot A}{1 + j\omega RC}$$

$$\beta_{3dB} = \frac{A}{2\pi RC}$$

poco ruido térmico
poco β_{3dB} !!

Amplificador de transimpedancia



$$\frac{V_o}{I} = -\frac{A \cdot R_f}{R_f + A R_i + j\omega R_f C} \approx -\frac{R_f}{1 - j\omega (R_f/A) C}$$

ind ω de R puede subir R para reducir ruido térmico

Relación señal a ruido (instantánea)

$$\frac{S}{N}(t) = \frac{I^2(t)_{\text{canal}}}{(\Delta i_s^2 + (\Delta i_d)^2 + (\Delta i_i)^2 + (\Delta i_{ot})^2)}$$

Auido shot: $(\Delta i_s)^2 = M \cdot F(M) \cdot 2e I(t) \Delta f$

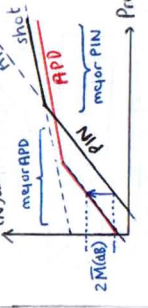
Auido oscuridad: $(\Delta i_d)^2 = M^2 \cdot F(M) \cdot 2e I_d \Delta f$

ruido de intensidad: $(\Delta i_i)^2 = RIN \cdot I(t)^2 \cdot \Delta f$

Ruido Johnson + amplificador: $(\Delta i_{ot})^2 = \frac{(\Delta i_{ot})^2 + (4k_B T F \Delta f)}{R}$

$$F: \text{Factor ruido del amplif.} = \frac{4k_B T F \Delta f}{R}$$

Si no dan Δf
NRZ: $\Delta f \approx V_B/2$
RZ: $\Delta f \approx V_B$



prob error $P_e = P(110) \cdot P(01) + P(011) \cdot P(1)$
 $= \frac{1}{2} P(110) + \frac{1}{2} P(011)$

$$P_e = \frac{1}{2} \left[\frac{1}{2} \text{erfc} \left(\frac{V_{max} - V_{min}}{\sqrt{2} \sigma_{min}} \right) + \frac{1}{2} \text{erfc} \left(\frac{V_{max} - V_{min}}{\sqrt{2} \sigma_{max}} \right) \right]$$

$$P_e = BER = \frac{1}{2} \text{erfc} \left(\frac{q}{\sqrt{2}} \right)$$

$$q = \frac{I_1 - I_0}{\sigma_{max} + \sigma_{min}} \text{ (en promedio) } = \begin{cases} \text{equiprob. potencia nula en cero} \\ I_0 = 0 \\ I_1 = M R_f R_i \end{cases}$$

$$P_{rec} = \frac{q}{R} \left(e^{\Delta f F_{mp} q} + \frac{\sigma_f^2}{M} \right)$$

Sensibilidad del receptor

$$F_{APD} = F(M)$$

Límite cuántico

no fotones durante bit "1"

$$P_e = BER = \frac{1}{2} P(01) = \frac{1}{2} P(0) = \frac{1}{2} e^{-N} \text{ or } e^{-N}$$

requisito para bit "0": Fuente coherente
ya no sirve JAP gaussianas

Bit 1 = recibir al menos un fotón !!

$$P_e = BER = \frac{1}{2} P(01) = \frac{1}{2} P(0) = \frac{1}{2} e^{-N}$$

requisito para bit "0": Fuente coherente

ya no sirve JAP gaussianas

BER = e^{-N} \Rightarrow Límite N mínimo para criterio BER

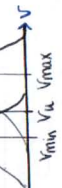
Potencia equivalente de ruido NEP [W]

$$NEP = \frac{1}{R} \sqrt{(\Delta i_{ot})^2}$$

si domina térmico $= \frac{1}{R} \sqrt{4k_B T F \Delta f}$

si domina térmico $NEP = \frac{1}{R} \sqrt{4k_B T F \Delta f}$

$$P_i(V) = \frac{1}{\sigma_i^2 \sqrt{2\pi}} e^{-\frac{(V - V_{opt})^2}{2\sigma_i^2}}$$



semisuma ponderada
 $\sigma_{min} V_{min} + \sigma_{max} V_{min}$
 $V_{optimo} = \frac{\sigma_{min} V_{min} + \sigma_{max} V_{min}}{\sigma_{min} + \sigma_{max}}$



$$q = 6 \leftrightarrow BER = 10^{-9}$$

$$q = 7 \leftrightarrow BER = 10^{-12}$$

$$P_{rec} = P_i/2 = \frac{2 M R_f R_i}{\sigma_{min} + \sigma_{max}}$$

un APD reduce el ruido térmico
 $\sigma_{min} = \sigma_f$ (sólo térmico ya que $\% = 0$)
 $\sigma_{max} = \sqrt{\sigma_f^2 + \sigma_s^2}$ (térmico y shot)
 $\sigma_s^2 = (4k_B T F \Delta f) / R$
 $\sigma_s^2 = 2e I M F(M) \Delta f$

Tema 9. Componentes ópticos Pasivos

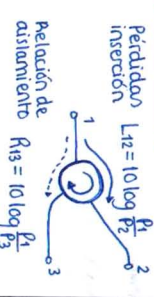
Polarizadores

- atenuador de una polarización (convierte circular en lineal)
- Relación de extinción = $10 \log \frac{P_{out \parallel}}{P_{out \perp}}$
- Pérdidas de inserción = $10 \log \frac{P_{in \parallel}}{P_{out \parallel}}$

Atenuadores

Pérdidas de inserción $L = 10 \log \frac{P_{in}}{P_{out}}$

Circuladores



Relación de aislamiento $R_{13} = 10 \log \frac{P_1}{P_3}$

Filtros

Redes de difracción (Bragg) sólo se suman en fase $n_2 \sin \theta_2 = n_1 \sin \theta_1$

Filtros Fabry Perot $T(\lambda) = \frac{E_t^2}{E_i^2} = \frac{1}{(1 - R_1 R_2)^2 + 4 R_1 R_2 \cos^2(kL)}$

Resonancia de banda de los resonadores $F = \frac{ESR}{F_{WHM}} = \frac{\pi FR}{1 - R}$

Tema 10. Amplificadores ópticos

Conceptos básicos

Coefficiente de ganancia $g(\omega) \approx g_0 - \gamma_0(\omega - \omega_0)^2$

Retardadores de onda material birrefringente $n_x \neq n_y \Rightarrow$ desfase entre estados de polarización

Retardadores de polarización campo magnético Efecto Faraday

Acopladores $k = \text{Potz} = \text{sen}^2(kL)$

Relación de acoplamiento $k = \text{Potz} = \text{sen}^2(kL)$

Directividad $D = 10 \log \frac{P_{in}}{P_{out}}$

Relación de aislamiento con la pérdida de inserción $L_i = 10 \log \frac{P_{in}}{P_{out}}$

Relación de aislamiento de MUX y DEMUX de WDM

Interferómetro Mach-Zehnder

Ruido ASE $NF = \frac{1}{G} \left(\frac{1}{G} + 1 \right)$

Ganancia $G(\omega) = e^{G_0(\omega) \cdot L}$

Saturación de ganancia $G(\omega) = G_0(\omega) \cdot e^{-\frac{I}{I_s}}$

Intensidad de saturación I_s

Intensidad de saturación de salida G_s

Intensidad de saturación de entrada I_s

Intensidad de saturación de salida G_s

Intensidad de saturación de entrada I_s

Intensidad de saturación de salida G_s

Intensidad de saturación de entrada I_s

Intensidad de saturación de salida G_s

Intensidad de saturación de entrada I_s

Intensidad de saturación de salida G_s

Intensidad de saturación de entrada I_s

Intensidad de saturación de salida G_s

Intensidad de saturación de entrada I_s

Intensidad de saturación de salida G_s

Intensidad de saturación de entrada I_s

Intensidad de saturación de salida G_s

Intensidad de saturación de entrada I_s

Intensidad de saturación de salida G_s

Intensidad de saturación de entrada I_s

Intensidad de saturación de salida G_s

Intensidad de saturación de entrada I_s

Intensidad de saturación de salida G_s

Intensidad de saturación de entrada I_s

Intensidad de saturación de salida G_s

Intensidad de saturación de entrada I_s

Intensidad de saturación de salida G_s

Intensidad de saturación de entrada I_s

Intensidad de saturación de salida G_s

Intensidad de saturación de entrada I_s

Intensidad de saturación de salida G_s

Intensidad de saturación de entrada I_s

Intensidad de saturación de salida G_s

Intensidad de saturación de entrada I_s

Intensidad de saturación de salida G_s

Intensidad de saturación de entrada I_s

Intensidad de saturación de salida G_s

Intensidad de saturación de entrada I_s

Intensidad de saturación de salida G_s

Intensidad de saturación de entrada I_s

Intensidad de saturación de salida G_s

Intensidad de saturación de entrada I_s

Intensidad de saturación de salida G_s

Intensidad de saturación de entrada I_s

Intensidad de saturación de salida G_s

Intensidad de saturación de entrada I_s

Intensidad de saturación de salida G_s

Intensidad de saturación de entrada I_s

Intensidad de saturación de salida G_s

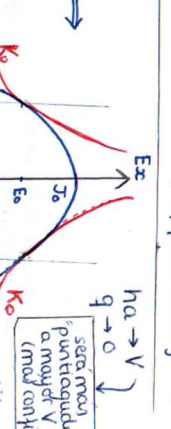
Intensidad de saturación de entrada I_s

Fibras monomodo: Modo LP01

si $V < 2.405$ salto de índice \Rightarrow LP01 (factor de degeneración 2, polariz \hat{x} e \hat{y})

solo se propaga el modo LP01

Modo LP01 en \hat{x} $E_x = E_0 \cdot \begin{cases} J_0(hcr) e^{i(\omega t - \beta z)} \\ J_0(hcr) e^{i(\omega t - \beta z)} \end{cases}$



Resultado que se parece mucho a una gaussiana

En la cubierta se toma K_0

siendo W el diámetro en el cual Esc cae a $1/e^2$ de su valor

En el núcleo se toma J_0

$W \approx A \cdot e^{-\left(\frac{V}{2}\right)^2} e^{i(\omega t - \beta z)}$

MDF = diámetro del campo modal

aproximación $W = 0.65 + 1.619 V^{-2} + 2.879 \cdot V^{-6}$

$P_{nucleo} = \frac{\int_0^a E_x^2 r dr}{\int_0^a E_x^2 r dr} = 1 - e^{-2\left(\frac{a}{W}\right)^2}$

cte. de propag. $k_z n_2$

Aproximamos la curva en la zona de interés con la expresión $b_{01}(V) = \left[1.1428 - 0.996 \left(\frac{V}{2.405} \right)^2 \right]^2$

si $V \rightarrow 0 \Rightarrow \beta \rightarrow k_0 n_2 \Rightarrow v \rightarrow c/n_2$

La constante de propagación cambia con V (la cual viene dada por parámetros de la fibra y la frecuencia)

si $V \uparrow \Rightarrow \beta \rightarrow k_0 n_1 \Rightarrow v \rightarrow c/n_1$

si cambia $\beta \rightarrow$ cambia la velocidad de propagación

En general, para una V cualquiera hay una β y por tanto una índice efectivo del modo $v = \frac{c}{\beta}$

Por tanto cada componente tiene un retardo distinto El periodo de la variación es $L_B = \frac{\lambda}{\beta}$

$n_{01} = n_2 + b_{01}(n_1 - n_2) \approx n_2 (1 + b_{01} \Delta)$

$\beta = |n_{01} \bar{k} - \bar{n}_{01}|$

si $V \uparrow \rightarrow \beta \rightarrow k_0 n_1 \Rightarrow v \rightarrow c/n_1$

El periodo de la variación es $L_B = \frac{\lambda}{\beta}$

si $V \rightarrow 0 \Rightarrow \beta \rightarrow k_0 n_2 \Rightarrow v \rightarrow c/n_2$

El periodo de la variación es $L_B = \frac{\lambda}{\beta}$

si $V \uparrow \rightarrow \beta \rightarrow k_0 n_1 \Rightarrow v \rightarrow c/n_1$

El periodo de la variación es $L_B = \frac{\lambda}{\beta}$

si $V \rightarrow 0 \Rightarrow \beta \rightarrow k_0 n_2 \Rightarrow v \rightarrow c/n_2$

El periodo de la variación es $L_B = \frac{\lambda}{\beta}$

si $V \uparrow \rightarrow \beta \rightarrow k_0 n_1 \Rightarrow v \rightarrow c/n_1$

El periodo de la variación es $L_B = \frac{\lambda}{\beta}$

si $V \rightarrow 0 \Rightarrow \beta \rightarrow k_0 n_2 \Rightarrow v \rightarrow c/n_2$

El periodo de la variación es $L_B = \frac{\lambda}{\beta}$

si $V \uparrow \rightarrow \beta \rightarrow k_0 n_1 \Rightarrow v \rightarrow c/n_1$

El periodo de la variación es $L_B = \frac{\lambda}{\beta}$

Estudio electromagnético exacto

$$\vec{E} = \{ E_x, E_y \} = \psi(r) \cdot e^{\pm j\theta} \cdot e^{-j\beta z} \cdot e^{j\omega t}$$

$$\vec{H} = \{ H_x, H_y \}$$

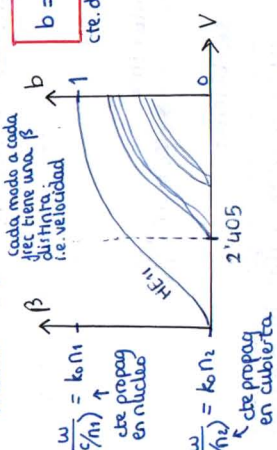
Modos l, n
orden de la junción de aparición
 $0, 1, 2, 3, \dots$

Modos TE \rightarrow transversal eléctrico
Modos TM \rightarrow transversal magnético
Modos EH \rightarrow modos híbridos
Modos HE

solucionando la ecuación diferencial de E_z

$J_0(hr)$ en el núcleo
 $K_0(q \cdot r)$ en cubierta

Para cada l aparecen diversos modos que cumplen continuidad (numeración n : orden de aparición)



$b = \frac{(\beta/k_0) \cdot n_2}{n_1 - n_2}$

cte. de prop. normal. la c.a. parametriza las trayectorias de la fibra.

Para cada V podemos conocer los modos que se propagan y con qué β cada uno

recurrencia normalizada [adimensional]

SOA: Semiconductor Optical Amplifier

SOA Fabry Perot $R > 0$ rezado

Técnicas R-O
- recubrim. antirreflejante
- corte no perpendicular

EDFA: Erbium Doped Fiber Amplifier

Bombes 980nm, 1480nm

mayor ganancia, mayor eficiencia

señal info cercana a 1540nm (3ª ventana)

WDM MUX

Bombes 5-50m

SOA: Semiconductor Optical Amplifier

como el laser pero sin espejos (difícil lograr $R \approx 0$)

gran ancho banda (50nm)
tiempo de respuesta MUY bajo
aprovechar para modular

SRS: Stimulated Raman Scattering

pot. bombeo $P_p(z) \cdot g_r$

pot. señal $P_s(z) \cdot e$

pot. Stokes $P_{st}(z) \cdot e$

bombes 100nm por debajo de la señal

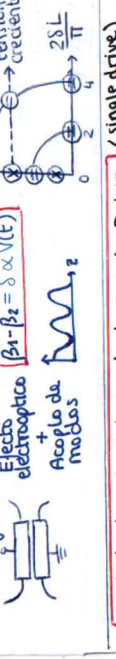
bombes de gran potencia ganancia a lo largo de km's

menor ruido

Tema 12. Dispositivos Ópticos Integrados

Conmutador basado en acoplador

Efecto electrooptico + Acoplado de modos



Modulador de intensidad Dual-Drive ($V_2(t) = 0$)

single drive

$$E_{out} = E_{in} [a e^{j\phi_1} + \sqrt{1-b^2} e^{j\phi_2}]$$

$$E_{out} = \frac{1}{2} E_{in} [e^{j\phi_1} + e^{j\phi_2}]$$

$$a^2 + b^2 = 1/2$$

Dos tensiones controlan n_1 y n_2 y por tanto ϕ_1 y ϕ_2

$$\phi_1 = k_0 n_1 L - \frac{\pi}{4} V_1(t) = k_0 n_0 L - \Delta\phi_1$$

$$\phi_2 = k_0 n_2 L - \frac{\pi}{4} V_2(t) = k_0 n_0 L - \Delta\phi_2$$

$E_s = \frac{1}{2} E_0 \hat{x} e^{j k_0 n_0 L} [e^{-j(\Delta\phi_1 + \Delta\phi_2)} + e^{-j(\Delta\phi_1 - \Delta\phi_2)}]$

$E_s = \frac{1}{2} E_0 \hat{x} e^{j k_0 n_0 L} e^{-j(\frac{\Delta\phi_1 + \Delta\phi_2}{2})} \cos(\frac{\Delta\phi_2 - \Delta\phi_1}{2})$

modulación de la fase \rightarrow la intensidad

Modulador y retardador de fase

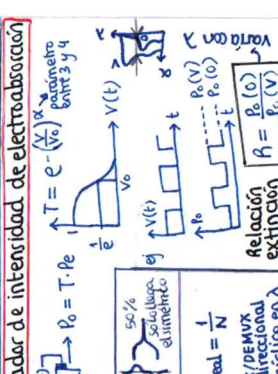
crystal con dos ejes principales, la n de uno varía con $V(t)$

si E // eje principal \rightarrow modula fase
si E $\Delta 45^\circ$ con eje \rightarrow retardo entre los dos direcciones de polariz.

$$E_s = \frac{1}{2} E_0 \hat{x} e^{j k_0 n_0 L} e^{-j(\frac{\Delta\phi_1 + \Delta\phi_2}{2})} \cos(\frac{\Delta\phi_2 - \Delta\phi_1}{2})$$

Casos particulares:

- Single Drive: $V_2(t) = 0 \rightarrow$ Chirp Fijo
- Push-Pull: $V_2(t) = -V_1(t) \rightarrow$ Chirp nulo
- Modulador: $V_1(t) = V_2(t) \rightarrow$ solo varía fase



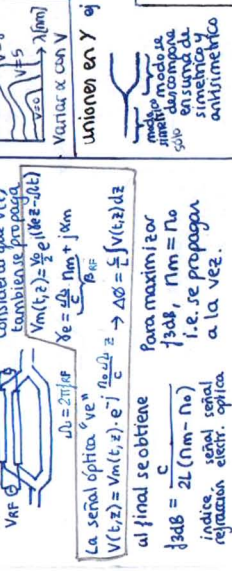
Modulador de intensidad de electroabsorcion

Electroabsorcion

uniones en Y o X

Pragone Tidal = 1

MUX/DEMUX bidireccional y cíclico en X



Estudio electromagnético exacto

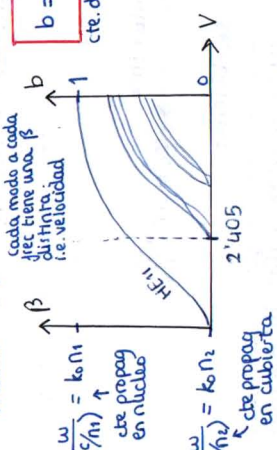
$$\vec{E} = \{ E_x, E_y \} = \psi(r) \cdot e^{\pm j\theta} \cdot e^{-j\beta z} \cdot e^{j\omega t}$$

$$\vec{H} = \{ H_x, H_y \}$$

solucionando la ecuación diferencial de E_z

$J_0(hr)$ en el núcleo
 $K_0(q \cdot r)$ en cubierta

Para cada l aparecen diversos modos que cumplen continuidad (numeración n : orden de aparición)



$b = \frac{(\beta/k_0) \cdot n_2}{n_1 - n_2}$

cte. de prop. normal. la c.a. parametriza las trayectorias de la fibra.

Para cada V podemos conocer los modos que se propagan y con qué β cada uno

recurrencia normalizada [adimensional]

Estudio electromagnético: aproximación de guiado débil

$n_1 \approx n_2$

Algunos modos exactos muy cercanos (degenerados) hacen combinación lineal para formar los:

Modos LP_{lm}

Linealmente polarizados
Transversales a la propagación

ejemplo: polariz en \hat{x}

$$\vec{E} = E_x \hat{x} = \{ A J_l(hr) e^{j l \theta} - j B K_l(qr) e^{j l \theta} \} e^{-j \beta z}$$

Modos LP_{lm}

variación radial r , coincida con los valores de aparición de degeneración

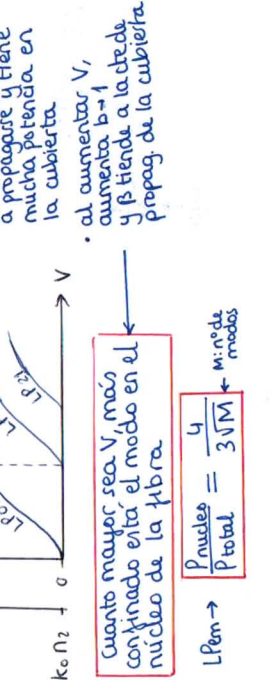
variación en azimut θ

Numero de modos propagados por una fibra

- si $V < 6$ se cuentan los LP sobre la gráfica multiplicando cada modo por su factor de degeneración
- salto índice: $M_{SI} \approx \frac{V^2}{2}$
- índice gradual: $M_{IG} \approx \frac{\alpha}{\alpha + 2}$

Factor de degeneración = $\begin{cases} 4 & l \neq 0 \\ 2 & l = 0 \end{cases}$

coincida con el número de modos exactos que lo componen

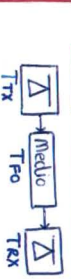


Cuanto mayor sea V más confinado está el modo en el núcleo de la fibra

$$L_{P_{em}} = \frac{4}{3\sqrt{M}}$$
 M : n.º de modos

Sistema MI-DD (modulación intensidad / Detección directa)

• Tiempos de subida



$$T_{rx}^2 = T_{Tx}^2 + T_{FO}^2 + T_{Rx}^2$$

$$T_{Tx} = \frac{0.35}{\Delta f}$$

$$T_{FO}^2 = T_{modulador}^2 + T_{invar}^2$$

multimodo
 $T_{modul}^2 = \Delta T^2$
 (Tema 2)
 $T_{invar}^2 = d^2$
 (Tema 4)

$$T_r \leq 0.35 = \begin{cases} 0.17 \text{ B para NRZ} \\ 0.35 \text{ B para RZ} \end{cases}$$

Balance de potencia

$$P_r \leq P_t - L_c - M_s$$

señal: potencia recibida
 ruido: potencia de ruido
 recepción: potencia de señal
 pérdidas: pérdidas de medio
 - F.O. $\alpha(dB/km) \cdot L(km)$
 - conectores y empalmes
 - elementos de fibra
 - Penalizaciones

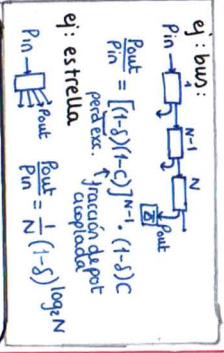
Fuentes de degradación adicional

• Relación de extinción no nula: $r_e = P_r/P_t$
 $P_r(dB) = 10 \log \left(\frac{1+r_e}{1-r_e} \right)$

• Penalización por dispersión: $P_r(dB) = 10 \log \left(\frac{1+r_e}{1-r_e} \right)$

• Penalización por jitter
 PUN limitado por ruido térmico $\rightarrow Q = \frac{I_1 - I_2}{\sqrt{d_i^2 + d_j^2 + d_s}}$

• Penalización por ruido de partición modal
 $P_r(dB) = -5 \log \left(1 - Q^2 RPM^2 \right)$



ej: buzo: $P_{in} \rightarrow M \rightarrow N \rightarrow P_{out}$

$$P_{out} = P_{in} \cdot [(1-\beta)(1-\alpha)]^{M-1} \cdot (1-\beta) \cdot C$$

perdida: β reflexión de potencia
 α atenuación

ej: estrella: $P_{in} \rightarrow P_{out}$

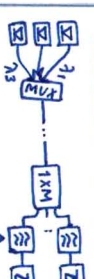
$$P_{out} = \frac{1}{N} (1-\beta) \log_e N$$

Sistema multicanal

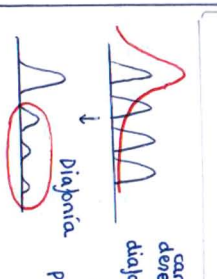
• Multiplex electrónico
 F en frecuencia: SCM
 F en tiempo: ETDM

• Multiplex óptico
 F en frecuencia: WDM
 F en tiempo: OTDM

• WDM (wavelength division multiplexing)



• mayor B - canales anchos
 - más canales, junciones más: FWM
 - más canales usando mayor ancho de banda
 - más canales usando mayor ancho de banda
 - más canales usando mayor ancho de banda



SCM (sub carrier multiplexing)

• Señal eléctrica
 RF con puzeta

• Estándar ITU
 16 canales \rightarrow 100GHz
 $f_{iter} = 193.1 \text{ THz}$
 $\Delta f = 1552.5 \text{ nm}$

• Estrechamiento para evitar clipping
 $m \cdot N < 1$
 pero para veces se suman $m > 10 \rightarrow R(f)$ gaussiano

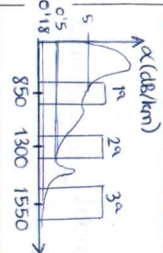
• Aporecen productos de intermodulación
 $P = P_0 [1 + \sum m_i \cos(2\pi f_i t + \theta)]$

• Ruido de intermodulación $(\Delta I_{mod})^2 = T^2 \left[\frac{1}{CSO} + \frac{1}{CTB} \right]$
 $CSO = -10 \log \left[N_{CSO} (a, m)^2 \right]$
 $CTB = -10 \log \left[N_{CTB} \left(\frac{1}{2} b m^2 \right)^2 \right]$
 $N_{CSO} = \frac{1}{T^2} \left[\sum_{i,j} \frac{1}{(\Delta f_{ij})^2 + (\Delta f_i)^2 + (\Delta f_j)^2 + (\Delta I_{mod})^2} \right]$
 $N_{CTB} = \frac{1}{T^2} \left[\sum_{i,j} \frac{1}{(\Delta f_{ij})^2 + (\Delta f_i)^2 + (\Delta f_j)^2 + (\Delta I_{mod})^2} \right]$

• Efecto no lineal
 - más canales usando mayor ancho de banda
 - más canales usando mayor ancho de banda
 - más canales usando mayor ancho de banda

Comunicaciones ópticas - Regeneración rápida

Tema 1. Introducción



$$c = f \cdot \lambda$$

en el interior de un medio con índice de refracción $n = \sqrt{\epsilon_r}$

$$v = \frac{c}{n}$$

$$\Delta \lambda = \frac{f}{c} \Delta \nu$$

$$\Delta \nu = \frac{c}{\lambda^2} \Delta \lambda = \frac{c}{\lambda^2} \Delta \lambda$$

Tema 2. Propagación en fibras ópticas

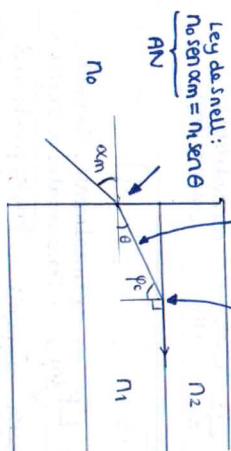


salto de índice gradual
 $n(r) = \begin{cases} n_1 & r \leq a \\ n_2 & r > a \end{cases}$

$$n(r) = \begin{cases} n_1 [1 - 2\Delta (\frac{r}{a})^\alpha]^{1/2} \approx n_1 [1 - \Delta (\frac{r}{a})^\alpha] & r \leq a \\ n_2 = n_1 (1 - 2\Delta)^{1/2} \approx n_1 (1 - \Delta) & r > a \end{cases}$$

$$\Delta = \frac{n_1^2 - n_2^2}{2n_1^2} \approx \frac{n_1 - n_2}{n_1}$$

ley de Snell: $n_1 \sin \theta = n_2 \sin \phi$
 ley de Snell para ángulo crítico $n_1 \sin \phi_c = n_2 \sin(\frac{\pi}{2})$
 $\phi_c = \sin^{-1}(\frac{n_2}{n_1})$



se obtiene: $AN = N_0 \sin \alpha_m = \sqrt{n_1^2 - n_2^2} = n_1 \sqrt{2\Delta}$
 como de aceptación \rightarrow Fuente tipo Lambertiano
 \rightarrow mayor ancho de aceptación \rightarrow más dispersión

Dispersión multimodal

salto de índice:



divergencia de caminos en el caso peor:

$$\Delta L = L \left(\frac{1}{\sin \phi_c} - 1 \right) = L \left(\frac{n_1}{n_2} - 1 \right) = L \frac{n_1}{n_2} \Delta$$

$$\Delta T = \frac{\Delta L}{c} = \frac{L}{c} \frac{n_1}{n_2} \Delta$$

$$\Delta T = \frac{L n_1^2 \Delta}{c n_2}$$

$$\Delta T = \frac{L n_1^2 \Delta}{c n_2} \approx \frac{L n_1^2 \Delta}{2 c n_2}$$

$$T_{bit} \gg \Delta T \Rightarrow B \Delta T \ll 1 \Rightarrow B \cdot L \leq \frac{n_2 c}{n_1^2 \Delta} = \frac{2 n_2 c}{A n_1^2 \Delta} \propto \frac{1}{\Delta}$$

índice gradual:



$$\Delta T = \frac{L n_1^2 \Delta^2}{8 c}$$

$$B \cdot L \leq \frac{8 c}{n_1^2 \Delta^2} \propto \frac{1}{\Delta^2}$$

mejor